

Concours ATS SI 2013
‘Système de pendulation pour train’

4 – Etude de la fonction FT1 : détection de courbe

Q13 : $180 \text{ km/h} \rightarrow 50 \text{ m/s} \quad \Delta t = \frac{60}{50} = 1,2 \text{ s}$

Q14 : $\frac{d\alpha}{dt} = \frac{6,3}{1,2} = 5,25^\circ/\text{s} = 9,16 \cdot 10^{-2} \text{ rad/s}$

Q15 : $\Delta t_K = \frac{D_K}{V_{TGV}}$

Q16 : $\Delta t_{K+1} - \Delta t_K = \frac{18,7}{50} = 0,374 \text{ s}$

Q17 : $R_{\max} = 0,374 \text{ s}$

Q18 : $X_{\text{out}} \in [1,5 - 0,3 \times 3 ; 1,5 + 0,3 \times 3] \quad X_{\text{out}} \in [0,6 \text{ V} ; 2,4 \text{ V}]$
 Linéarité en m/s^2 : $\pm (3 \times 9,81)$ soit $\pm 29,43 \text{ m/s}^2$
 L'accéléromètre convient car $\gamma_{\text{ncmax}} = 1,2 \text{ m/s}^2$

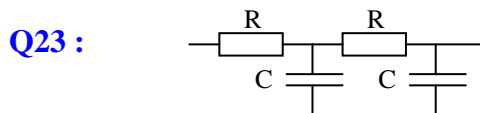
Q19 : $P = 3 \times 350 \cdot 10^{-6} = 1,05 \text{ mV}$

Q20 : Fonction de transfert : $\frac{1}{1 + R \cdot C_x \cdot p} = \frac{1}{1 + \frac{p}{2\pi \cdot f_c}}$

$$C_x = \frac{1}{R \cdot 2\pi \cdot f_c} = \frac{1}{32 \cdot 10^3 \times 2 \times \pi \times 1} = 4,97 \mu\text{F}$$

Q21 : Constante de temps $\frac{1}{2\pi} = 0,16 \text{ s}$, inférieur à R_{\max} .

Q22 : A 100 Hz, soit à 2 décades de 1 Hz, atténuation de 40 dB ou signal 100 fois plus faible.



Q24 : $\frac{U_{\text{mes}}}{\gamma_{\text{nc}}}(p) = \frac{0,3/9,81}{1 + \frac{p}{2\pi}} = \frac{0,0306}{1 + \frac{p}{2\pi}}$

6-3 – Caractérisation et modélisation de la motorisation

Q42 : $\lambda = \frac{p}{2\pi} = \frac{10^{-2}}{2\pi}$

Q43 : $C_m \cdot \omega_m = F_v \cdot \frac{dX_v}{dt} + f_v \cdot \omega_v \cdot \omega_v + f_m \cdot \omega_m \cdot \omega_m$

$$\omega_v = \frac{\omega_m}{N} \quad \text{et} \quad X_v = \lambda \cdot \theta_v \quad \text{d'où} \quad \frac{dX_v}{dt} = \lambda \cdot \omega_v = \frac{\lambda}{N} \cdot \omega_m$$

$$C_m \cdot \omega_m = F_v \cdot \frac{\lambda}{N} \cdot \omega_m + f_v \cdot \frac{\omega_m}{N^2} \cdot \omega_m + f_m \cdot \omega_m \cdot \omega_m \quad C_m = F_v \cdot \frac{\lambda}{N} + \left(\frac{f_v}{N^2} + f_m \right) \cdot \omega_m$$

$$\omega_m = \frac{N}{\lambda} \cdot \frac{dX_v}{dt} = \frac{3,04 \times 2 \times \pi}{10^{-2}} \times 0,1 = 191 \text{ rad/s}$$

$$C_m = 80 \cdot 10^3 \times \frac{10^{-2}}{2 \times \pi \times 3,04^2} + \left(\frac{0,182}{3,04^2} + 0,01 \right) \cdot 191 = 47,55 \text{ Nm}$$

Q44 : $I_m = \frac{C_m}{K} = \frac{47,55}{1,9} = 25 \text{ A}$

Q45 : $f_t = \frac{f_v}{N^2} + f_m = \frac{0,182}{3,04^2} + 0,01 = 0,0297 \text{ Nms/rad}$

Q46 : $U_m = E + R \cdot I_m \quad E = K \cdot \omega \quad C_m = K \cdot I_m \quad C_m = F_v \cdot \frac{\lambda}{N} + f_t \cdot \omega_m + J_{eq} \cdot \frac{d\omega_m}{dt}$

Q47 : $C_m = F_v \cdot \frac{\lambda}{N} + f_f \cdot \omega_m = 80 \cdot 10^3 \times \frac{10^{-2}}{2 \times \pi \times 3,04} + 0,029 \times 191 = 47,42 \text{ Nm}$

$$U_m = K \cdot \omega + R \cdot I_m = 1,9 \times 191 + 0,8 \times 25 = 382,9 \text{ V}$$

Q48 : $C_m = F_v \cdot \frac{\lambda}{N} + f_f \cdot \omega_m = 80 \cdot 10^3 \times \frac{10^{-2}}{2 \times \pi \times 3,04} + 0,0297 \times (-191) = 36,21 \text{ Nm}$

$$I_m = \frac{C_m}{K} = \frac{36,21}{1,9} = 19 \text{ A} \quad U_m = K \cdot \omega + R \cdot I_m = 1,9 \times (-191) + 0,8 \times 19 = -347,7 \text{ V}$$

Q49 : $U_m \cdot I_m = R \cdot I_m^2 + C_m \cdot \omega_m = R \cdot I_m^2 + f_t \cdot \omega_m^2 + C_v \cdot \omega_v = R \cdot I_m^2 + f_t \cdot \omega_m^2 + F_v \cdot \frac{dX_v}{dt}$

Q50 : $P_{JOULE} = R \cdot I_m^2 = 0,8 \times 25^2 = 500 \text{ W} \quad P_{ABS} = U_m \cdot I_m = 382,9 \times 25 = 9572,5 \text{ W}$

$$\frac{P_{JOULE}}{P_{ABS}} = 5,2 \%$$

Q51 : Relevé A : $U > 0$ donc $\omega_m > 0$, $I > 0$ donc $C_m > 0$, d'où quadrant Q1
 Relevé B : $U < 0$ donc $\omega_m < 0$, $I > 0$ donc $C_m > 0$, d'où quadrant Q4
 Relevé C : $U < 0$ donc $\omega_m < 0$, $I < 0$ donc $C_m < 0$, d'où quadrant Q3

Q52 : Fonctionnement moteur dans les quadrants Q1 et Q3.

Q53 : Entrée en courbe : la caisse se lève

Vérin 1

$$\omega_m = 191 \text{ rad/s}$$

$$I_m = 25 \text{ A} > 0$$

$$U_m = 382,9 \text{ V}$$

Quadrant Q1, moteur

$$P_m = 382,9 \times 25 = 9572 \text{ W}$$

Vérin 2

$$\omega_m = -191 \text{ rad/s}$$

$$I_m = -25 \text{ A} < 0$$

$$U_m = -382,9 \text{ V}$$

Quadrant Q3 : moteur

$$P_m = -382,9 \times -25 = 9572 \text{ W}$$

Sortie de courbe : la caisse redescend

Vérin 1

$$\omega_m = -191 \text{ rad/s}$$

$$I_m = 19 \text{ A} > 0$$

$$U_m = -347,7 \text{ V}$$

Quadrant Q4, générateur

$$P_m = -347,7 \times 19 = -6606 \text{ W}$$

Vérin 2

$$\omega_m = 191 \text{ rad/s}$$

$$I_m = -19 \text{ A} < 0$$

$$U_m = 347,7 \text{ V}$$

Quadrant Q2 : générateur

$$P_m = 347,7 \times -19 = -6606 \text{ W}$$

6.4 – Modélisation de l'asservissement du système

Q54 : $A1 = \frac{1}{R}$; $A2 = K$; $A3(p) = \frac{1}{J_{eq} \cdot p + f_t} = \frac{1}{f_t} \cdot \frac{1}{\tau_v \cdot p + 1}$; $A4 = K$

Q55 : $\frac{dX_v}{dt} = \frac{\lambda}{N} \cdot \omega_m$ d'où $p \cdot X_v(p) = \frac{\lambda}{N} \cdot \omega_m(p)$ donc $A5 = \frac{\lambda}{N}$

$$N \cdot C_v \cdot \omega_v = F_v \cdot \frac{dX_v}{dt} = F_v \cdot \lambda \cdot \omega_v \text{ d'où } N \cdot C_v(p) = F_v(p) \cdot \lambda \text{ donc } A6 = \frac{\lambda}{N}$$

Q56 : Résolution possible en utilisant le théorème de superposition :

$$\frac{F_v}{I_m}(p) \text{ lorsque } X_T(p) = 0 \text{ et } \frac{F_v}{X_T}(p) \text{ lorsque } F_v(p) = 0$$

ou résolution directe.

$$F_v = K_{AV} \cdot (X_v - X_T) = K_{AV} \cdot \frac{1}{p} \cdot A5 \cdot A3 \cdot (A2 \cdot I_m - A6 \cdot F_v) - K_{AV} \cdot X_T$$

$$F_v = K_{AV} \cdot \frac{1}{p} \cdot A5 \cdot A3 \cdot A2 \cdot I_m - K_{AV} \cdot \frac{1}{p} \cdot A5 \cdot A3 \cdot A6 \cdot F_v - K_{AV} \cdot X_T$$

$$F_v \left(1 + K_{AV} \cdot \frac{1}{p} \cdot A5 \cdot A3 \cdot A6 \right) = K_{AV} \cdot \frac{1}{p} \cdot A5 \cdot A3 \cdot A2 \cdot I_m - K_{AV} \cdot X_T$$

$$F_v (p + K_{AV} \cdot A5 \cdot A3 \cdot A6) = K_{AV} \cdot A5 \cdot A3 \cdot A2 \cdot I_m - p \cdot K_{AV} \cdot X_T$$

$$F_v = \frac{K_{AV} \cdot A5 \cdot A3 \cdot A2}{p + K_{AV} \cdot A5 \cdot A3 \cdot A6} \cdot I_m - \frac{p \cdot K_{AV}}{p + K_{AV} \cdot A5 \cdot A3 \cdot A6} \cdot X_T$$

donc $\frac{F_v}{I_m}(p) = \frac{K_{AV} \cdot A5 \cdot A3 \cdot A2}{p + K_{AV} \cdot A5 \cdot A3 \cdot A6}$ et $\frac{F_v}{X_T}(p) = -\frac{p \cdot K_{AV}}{p + K_{AV} \cdot A5 \cdot A3 \cdot A6}$

Q57 :
$$F_V = \frac{K_{AV}}{p + K_{AV} \cdot A5 \cdot A3 \cdot A6} \cdot (A5 \cdot A3 \cdot A2 \cdot I_m - p \cdot X_T) = A8 \cdot (A7 \cdot I_m - A9 \cdot X_T)$$

$$A7 = A5 \cdot A3 \cdot A2 \quad A8 = \frac{K_{AV}}{p + K_{AV} \cdot A5 \cdot A3 \cdot A6} \quad A9 = p$$

Q58 :
$$\frac{F_V}{I_m}(p) = \frac{K_{AV} \cdot \frac{\lambda}{N} \cdot \frac{1}{f_t} \cdot \frac{1}{\tau_v \cdot p + 1} \cdot K}{p + K_{AV} \cdot \frac{\lambda}{N} \cdot \frac{1}{f_t} \cdot \frac{1}{\tau_v \cdot p + 1} \cdot \frac{\lambda}{N}},$$

en statique ($p \rightarrow 0$), tend vers
$$\frac{K_{AV} \cdot \frac{\lambda}{N} \cdot \frac{1}{f_t} \cdot K}{K_{AV} \cdot \frac{\lambda}{N} \cdot \frac{1}{f_t} \cdot \frac{\lambda}{N}} = \frac{K \cdot N}{\lambda}$$

On a vu (Q43) que $C_m = F_V \cdot \frac{\lambda}{N} + \left(\frac{f_v}{N^2} + f_m \right) \cdot \omega_m$

En statique, $\omega_m = 0$, donc $C_m = F_V \cdot \frac{\lambda}{N}$ or $C_m = K \cdot I_m$ d'où $\frac{F_V}{I_m} = \frac{K \cdot N}{\lambda}$

Q59 :

1. $\omega_m = A3 \cdot (A2 \cdot I_m - A6 \cdot F_V) = A3 \cdot A2 \cdot I_m - A3 \cdot A6 \cdot F_V$
2. $X_V = \frac{A5}{p} \cdot \omega_m$

$$X_V = \frac{A5}{p} \cdot A3 \cdot A2 \cdot I_m - \frac{A5}{p} \cdot A3 \cdot A6 \cdot F_V = \frac{A5}{p} \cdot A3 \cdot A2 \cdot A1 (U_{com} - A4 \cdot \omega_m) - \frac{A5}{p} \cdot A3 \cdot A6 \cdot K_{AV} \cdot (X_V - X_T)$$

or $X_V = \frac{A5}{p} \cdot \omega_m$ soit $\omega_m = \frac{p}{A5} \cdot X_V$

$$X_V = \frac{A5}{p} \cdot A3 \cdot A2 \cdot A1 \left(U_{com} - A4 \cdot \frac{p}{A5} \cdot X_V \right) - \frac{A5}{p} \cdot A3 \cdot A6 \cdot K_{AV} \cdot (X_V - X_T)$$

$$X_V = \frac{A5}{p} \cdot A3 \cdot A2 \cdot A1 \cdot U_{com} - A3 \cdot A2 \cdot A1 \cdot A4 \cdot X_V - \frac{A5}{p} \cdot A3 \cdot A6 \cdot K_{AV} \cdot X_V + \frac{A5}{p} \cdot A3 \cdot A6 \cdot K_{AV} \cdot X_T$$

produit par $\frac{p}{A5 \cdot A3 \cdot A6 \cdot K_{AV}}$

$$X_V \cdot \frac{p}{A5 \cdot A3 \cdot A6 \cdot K_{AV}} = \frac{A2 \cdot A1}{A6 \cdot K_{AV}} \cdot U_{com} - \frac{A2 \cdot A1 \cdot A4 \cdot p}{A5 \cdot A6 \cdot K_{AV}} X_V - X_V + X_T$$

$$X_V \cdot \left(\frac{p}{A5 \cdot A3 \cdot A6 \cdot K_{AV}} + \frac{A2 \cdot A1 \cdot A4 \cdot p}{A5 \cdot A6 \cdot K_{AV}} + 1 \right) = \frac{A2 \cdot A1}{A6 \cdot K_{AV}} \cdot U_{com} + X_T$$

$$X_V \cdot \left(\frac{\frac{p}{N} \cdot \frac{1}{f_t} \cdot \frac{1}{\tau_v \cdot p + 1} \cdot \frac{\lambda}{N} \cdot K_{AV}}{\frac{\lambda}{N} \cdot \frac{\lambda}{N} \cdot K_{AV}} + 1 \right) = \frac{K \cdot \frac{1}{R}}{\frac{\lambda}{N} \cdot K_{AV}} \cdot U_{com} + X_T$$

$$X_V \cdot \left(\frac{p \cdot (\tau_V \cdot p + 1) \cdot N^2 \cdot f_t}{\lambda^2 \cdot K_{AV}} + \frac{K^2 \cdot N^2 \cdot p}{R \cdot \lambda^2 \cdot K_{AV}} + 1 \right) = \frac{K \cdot N}{R \cdot \lambda \cdot K_{AV}} \cdot U_{com} + X_T$$

$$X_V = \left(\frac{K \cdot N}{R \cdot \lambda \cdot K_{AV}} \cdot U_{com} + X_T \right) \cdot \frac{1}{1 + \left(\frac{K^2 \cdot N^2}{R \cdot \lambda^2 \cdot K_{AV}} + \frac{N^2 \cdot f_t}{\lambda^2 \cdot K_{AV}} \right) \cdot p + \frac{\tau_V \cdot N^2 \cdot f_t}{\lambda^2 \cdot K_{AV}} \cdot p^2}$$

Q60 : $X_V = (A10 \cdot U_{com} + X_T) \cdot \frac{1}{1 + a \cdot p + b \cdot p^2}$

$$A10 = \frac{K \cdot N}{R \cdot \lambda \cdot K_{AV}} \quad (A10 = \frac{1,9 \times 3,04}{0,8 \cdot \frac{0,01}{2 \times \pi} \cdot 5 \cdot 10^7} = 9,073 \cdot 10^{-5})$$

$$\omega_N = \sqrt{\frac{\lambda^2 \cdot K_{AV}}{\tau_V \cdot N^2 \cdot f_t}} = \frac{\lambda}{N} \cdot \sqrt{\frac{K_{AV}}{\tau_V \cdot f_t}}$$

$$z = \frac{a \cdot \omega_N}{2} = \frac{1}{2} \cdot \left(\frac{K^2 \cdot N^2}{R \cdot \lambda^2 \cdot K_{AV}} + \frac{N^2 \cdot f_t}{\lambda^2 \cdot K_{AV}} \right) \cdot \frac{\lambda}{N} \cdot \sqrt{\frac{K_{AV}}{\tau_V \cdot f_t}} = \frac{N \cdot (K^2 + R \cdot f_t)}{2 \cdot R \cdot \lambda \cdot \sqrt{K_{AV} \cdot f_t}} \cdot \frac{1}{\sqrt{\tau_V}}$$

Q61 : $z = \frac{N \cdot (K^2 + R \cdot f_t)}{2 \cdot R \cdot \lambda \cdot \sqrt{K_{AV} \cdot f_t}} \cdot \frac{1}{\sqrt{\tau_V}} = \frac{3,04 \times (1,9^2 + 0,8 \times 0,0297)}{2 \times 0,8 \times \frac{0,01}{2 \times \pi} \times \sqrt{5 \cdot 10^7 \times 0,0297}} \cdot \frac{1}{\sqrt{\tau_V}} = \frac{3,56}{\sqrt{\tau_V}}$

Pour éviter un dépassement, il faut $z \geq 1$, soit $\tau_V \leq 3,56^2$, ce qui donne $\tau_V \leq 12,7$ s.

7 – Vérification de la précision de positionnement

Q62 : $p = 10$ mm et course = 140 mm, la vis effectue donc 14 tours.

$N = 3,04$, le moteur effectue $14 \times 3,04 = 42,56$ tours

Le rapport de réduction entre le moteur et le résolveur est de 100,
le résolveur effectue donc 0,426 tours.

Q63 : Le résolveur effectue moins d'un tour, on aura donc la position absolue sans avoir à compter un nombre de tours éventuel.

Q64 : $X_V = \frac{p}{2 \cdot \pi} \cdot \alpha_{vis} \pm \Delta_{vis} \pm \Delta_{art}$

$$\alpha_{vis} = \frac{\alpha_{moteur}}{N} \pm \Delta_{red} = \frac{\alpha_{résolveur} \cdot 100}{N} \pm \Delta_{red} = \frac{(\alpha_{rec} \pm \Delta_{calage}) \cdot 100}{N} \pm \Delta_{red}$$

$$X_V = \frac{p}{2 \cdot \pi} \cdot \left(\frac{(\alpha_{rec} \pm \Delta_{calage}) \cdot 100}{N} \pm \Delta_{red} \right) \pm \Delta_{vis} \pm \Delta_{art}$$

Q65 :

$$\Delta_{X_V} = X_{V \max} - X_{V \min} = \left[\frac{p}{2.\pi} \cdot \left(\frac{(\alpha_{rec} + \Delta_{calage}).100}{N} + \Delta_{red} \right) + \Delta_{vis} + \Delta_{art} \right] - \left[\frac{p}{2.\pi} \cdot \left(\frac{(\alpha_{rec} - \Delta_{calage}).100}{N} - \Delta_{red} \right) - \Delta_{vis} - \Delta_{art} \right]$$

$$\Delta_{X_V} = \frac{p}{2.\pi} \cdot \left(\frac{2.\Delta_{calage}.100}{N} + 2.\Delta_{red} \right) + 2.\Delta_{vis} + 2.\Delta_{art}$$

$$\Delta_{X_V} = \frac{10}{2.\pi} \times \left(\frac{2 \times \left(\frac{10}{60} \times \frac{\pi}{180} \right) \times 100}{3,04} + 2 \times \left(0,2 \times \frac{\pi}{180} \right) \right) + 2 \times 0,02 + 2 \times 0,12 = 0,596 \text{ mm}$$

L'erreur est bien inférieure aux 2 mm du cahier des charges.